

## บทที่ 6

### แบบจำลองทางทฤษฎีของค่าจำเพาะการแยกสำหรับสารที่มีประจุ ในเทคนิคไซโคลเด็กซ์ทรินอิเล็กโทรไครโนทิโกราฟี<sup>1</sup>

#### 6.1 คำนำ

ดังที่ได้กล่าวมาแล้วในหัวข้อ 1.1.3.2 ในบทที่ 1 ไซโคลเด็กซ์ทรินอิเล็กโทรไครโนทิโกราฟี (cyclodextrin electrokinetic chromatography, CD-EKC) เป็นเทคนิคหนึ่งใน CE ที่มีการเติมไซโคลเด็กซ์ทริน (cyclodextrin, CD) ลงไปในบัฟเฟอร์เพื่อทำให้น้ำที่เป็นเฟสเทียม (pseudo stationary phase) และเกิด inclusion complex ระหว่างสารกับ CD ส่งผลให้เกิดความแตกต่างของค่าความสามารถในการเคลื่อนที่ของสาร สำหรับค่าความสามารถในการเคลื่อนที่ทางไฟฟ้าของสารใน CD-EKC แสดงดังสมการ [Wren: 1993, Penn *et al.*: 1994, Chankvetadze: 1997]

$$\mu = \frac{\mu_0 + KC\mu_\infty}{1 + KC} \quad (6.1)$$

$\mu_0$  คือ ความสามารถในการเคลื่อนที่ทางไฟฟ้าของสารใน CZE หรือภาวะที่ไม่มี CD

$\mu_\infty$  คือ ความสามารถในการเคลื่อนที่ทางไฟฟ้าของสารประกอบเชิงช้อนระหว่างสารกับ CD

$C$  คือ ความเข้มข้นของ CD ที่ไม่เกิดสารประกอบเชิงช้อนที่ภาวะสมดุล ซึ่งมีค่าเท่ากับความ

เข้มข้น CD ที่เติมลงไปเมื่อความเข้มข้น CD มีค่ามากกว่าความเข้มข้นของสารมากๆ

$K$  คือ ค่า binding constant ระหว่างสารกับ CD

เทคนิค CD-EKC นิยมใช้สำหรับการแยกอิณเ念佛อร์ [Cucinotta *et al.*: 2010, Fanali: 2009, Chankvetadze: 2009, Gübitz and Schmid: 2008, Al Azzam *et al.*: 2010, Kwaterczak *et al.*: 2009, Yang *et al.*: 2008, Zhang *et al.*: 2008, Chankvetadze *et al.*: 2003] ซึ่งมีค่า  $\mu_0$  และ  $\mu_\infty$  เท่ากัน แต่มีค่า  $K$  ต่างกัน กลไกการแยกของสารใน CD-EKC สำหรับสารที่มีค่า  $\mu_0$  เท่ากัน ขึ้นอยู่กับ ความสามารถแตกต่างของค่า  $K$  ระหว่างสารกับ CD เพียงอย่างเดียว นอกจากการแยกสารประกอบประเภท ไฮดรอลิกแล้ว CD-EKC ยังนิยมใช้สำหรับแยกสารประเภทอะไครลด์ [Epple *et al.*: 2010, Cheung *et al.*: 2008, Česla *et al.*: 2007, Tain *et al.*: 2006, Chen and Ding: 2004, Ferguson *et al.*: 1997, Luong

<sup>1</sup> งานวิจัยนี้ได้นำเสนอผลงานแบบโปสเตอร์ในที่ประชุมวิชาการระดับนานาชาติที่ APCE2010 Hong Kong และเป็นเพื่อส่งตีพิมพ์ในวารสารดังภาพนี้ 4

and Nguyen: 1997, Hsieh and Huang: 1996] เช่น สารที่มีโนเลกูลขนาดเล็ก และ positional isomers เป็นต้น

ในการแยกสารที่มีค่า  $\mu_0$  แตกต่างกัน กลไกการแยกสารใน CD-EKC จึงขึ้นกับทั้งความแตกต่างของค่า  $K$  ระหว่างสารกับ CD และความแตกต่างของ  $\mu_0$  ของสาร เมื่อเปรียบเทียบกับ CZE การเติม CD ลงไปในน้ำพเฟอร์ใน CD-EKC อาจส่งผลทำให้ลำดับการออกของสารเหมือนหรือแตกต่างก็เป็นได้ และทำให้ค่าจำเพาะการแยกของบางคู่สารเพิ่มขึ้นหรือบางคู่สารลดลงได้ [Cheung et al.: 2008, Česla et al.: 2007, Chen and Ding: 2004, Ferguson et al.: 1997, Hsieh and Huang: 1996] ซึ่งผลของการเติม CD ที่มีต่อค่าจำเพาะการแยกและลำดับการออกของสารดังกล่าวให้ผลคล้ายคลึงกับงานวิจัยก่อนหน้านี้ในกลุ่มวิจัย ได้แก่ การแยกสาร ไครัลที่มีประจุด้วย CD ที่ไม่มีประจุสองชนิด [Nhujak et al.: 2005] และการแยกสารที่มีประจุด้วย MEKC (ดังที่กล่าวในบทที่ 5) [Puangpila et al.: 2011] ซึ่งการเปลี่ยนแปลงของค่าจำเพาะการแยกสารเมื่อเติมเฟสเทียม เช่น CD สองชนิดใน CD-EKC หรือ ไมเซลล์ใน MEKC ลงไป สามารถใช้แบบจำลองของค่าจำเพาะการแยกสำหรับสารที่มีประจุช่วงในการอธิบายได้

ดังนั้นงานวิจัยนี้จึงได้จัดรูปสมการให้สัมพันธ์กับตัวแปรที่ไม่มีหน่วยและสร้างแบบจำลองสำหรับค่าจำเพาะการแยกสารใน CD-EKC ( $\alpha_{CD}$ ) เพื่อใช้สำหรับอธินายการเปลี่ยนแปลง  $\alpha_{CD}$  และลำดับการเคลื่อนที่ของสารที่มีประจุที่มีค่า  $\mu_0$  แตกต่างกันและใช้ CD ที่ไม่มีประจุ นอกจากนี้ได้เปรียบเทียบค่าความจำเพาะการแยกที่ได้จากการทำนายและการทดลองที่ความเข้มข้นของ  $\beta$ -CD ต่างๆ (0-16 mM) โดยใช้สารทดสอบเป็นสารประกอบกลุ่มนูพันธ์ของกรดเบนโซิกและกรดฟีนอกซีอะซีติก

## 6.2 การทดลอง

### 6.2.1 สารเคมี

disodium tetraborate decahydrate ( $\text{Na}_2\text{B}_4\text{O}_7 \cdot 10\text{H}_2\text{O}$ ) และ sodium hydroxide ของบริษัท Fluka (Buchs, Switzerland),  $\beta$ -CD ของบริษัท Sigma (St. Louis, MO, USA), mesityl oxide ของบริษัท Aldrich (WI, USA), 3-chlorobenzoic acid (3C), 4-chlorobenzoic acid (4C) and 4-methylbenzoic acid (4M) ของบริษัท Sigma-Aldrich (Steinheim, Germany) และ 4-chloro-2-methylphenoxyacetic acid (MCPA) ของบริษัท Riedel de Haën (Seelze, Germany)

### 6.2.2 การเตรียมน้ำพเฟอร์และสารทดสอบ

น้ำพเฟอร์ที่ใช้ในงานวิจัยนี้แบ่งออกเป็น CZE และ CD-EKC สำหรับน้ำพเฟอร์ที่ใช้ใน CZE ประกอบด้วย 10 mM  $\text{Na}_2\text{B}_4\text{O}_7$ , ที่ pH 9.2 และน้ำพเฟอร์ที่ใช้ใน CD-EKC ประกอบด้วย  $\beta$ -CD เข้มข้น 2-16 mM (16 mM เป็นความเข้มข้นสูงสุดที่  $\beta$ -CD ละลายได้) และ 10 mM  $\text{Na}_2\text{B}_4\text{O}_7$  และ

สำหรับสารละลายน้ำ stock ของสารทดสอบแต่ละชนิดความเข้มข้น 5.0 mM เตรียมโดยละลายเมทานอลในปริมาณน้อยที่สุดและปรับปริมาณด้วยน้ำบริสุทธิ์ และสารละลายน้ำที่นำไปวิเคราะห์ด้วยเครื่อง CE ประกอบด้วยสารทดสอบแต่ละชนิดเข้มข้น 0.1 mM และ 50 ppm mesityl oxide ที่เจือจางให้มี 1.0 mM Na<sub>2</sub>B<sub>4</sub>O<sub>7</sub> จากนั้นนำสารละลายน้ำและบัฟเฟอร์มา sonicated และกรองผ่าน 0.45 μm membrane filter ก่อนนำไปวิเคราะห์ด้วยเครื่อง CE

### 6.2.3 ภาวะของ CE

เครื่อง CE ของบริษัท Beckman รุ่น MDQ, อะพิลารีคอลัมน์เป็น uncoated fused silica capillary ขนาดเส้นผ่าศูนย์กลาง 50 μm ยาว 40.2 cm (30 cm ถึงเครื่องตรวจวัด) บรรจุสารด้วยความดัน 0.5 psi เป็นเวลา 3 วินาที ความคุณอุณหภูมิที่ 25 °C ศักยไฟฟ้า 15 kV และตรวจวัดสารที่ความยาวคลื่น 214 nm

ก่อนการวิเคราะห์ในแต่ละวันล้างอะพิลารีด้วย 0.1 M NaOH และบัฟเฟอร์อ่อนตัว 10 นาที และระหว่างการวิเคราะห์ในแต่ละครั้งล้างอะพิลารีด้วย 0.1 M NaOH และบัฟเฟอร์อ่อนตัว 3 นาที แต่ละการทดลองทำซ้ำสองครั้ง

## 6.3 ผลการทดลองและวิจารณ์

### 6.3.1 แบบจำลองของค่าจำเพาะการแยกสำหรับสารที่มีประจุในเทคนิค CD-EKC

จากสมการค่าการแยกสาร ดังสมการที่ 1.3 หรือ 5.2 ค่าการแยกสารขึ้นกับเทอมของค่าจำเพาะการแยก ในที่นี้หมายถึงค่าจำเพาะการแยกของ CD-EKC ( $\alpha_{CD}$ ) ซึ่งคำนวณได้จากการอัตราส่วนของค่า  $\mu$  (สมการที่ 6.1) ( $\mu_2/\mu_1$ ) ในกรณีแยกสารที่มีประจุชัตติกที่ 1 และ 2 โดยกำหนดให้  $K_1 \geq K_2$  ได้สมการของค่าจำเพาะการแยกด้วย CD-EKC ที่จัดให้อยู่ในรูปที่ลัมพันธ์กับตัวแปรที่ไม่มีหน่วย เช่น  $\alpha_{CZE}$ ,  $\kappa$ ,  $\beta$ ,  $\gamma$  และ  $KC$  ดังสมการ

$$\alpha_{CD} = \alpha_{CZE} \left( \frac{\beta_2 + K_2 C}{\beta_2 + \alpha_{CZE} \kappa K_2 C \gamma} \right) \left( \frac{1 + \kappa K_2 C}{1 + K_2 C} \right) \quad (6.2)$$

$\alpha_{CZE}$  คือ ค่าจำเพาะการแยกใน CZE คำนวณได้จากการอัตราส่วนของ  $\mu_0$  ( $\mu_{0,2}/\mu_{0,1}$ )

$\kappa$  คือ CD binding selectivity คำนวณได้จากการอัตราส่วนของ  $K$  ( $K_1/K_2$ ) โดยที่  $\kappa \geq 1.0$

$\beta_2$  คือ อัตราส่วนของ  $\mu_{0,2}/\mu_{\infty,2}$

$\gamma$  คือ อัตราส่วนของ  $\mu_{\infty,1}/\mu_{\infty,2}$

จากตัวแปรในสมการที่ 6.2 เห็นได้ว่า กำหนดให้ค่าจำเพาะการแยก ( $\alpha_{CZE}$  หรือ  $\alpha_{CD}$ ) คำนวณได้จากอัตราส่วนของ  $\mu$  ของสารตัวที่ 2/1 ในขณะที่กำหนดให้  $\kappa$  คำนวณได้จากอัตราส่วนของ  $K$  ของสารตัวที่ 1/2 ทั้งนี้เนื่องจากใน CD-EKC ยิ่งสารมีค่า  $K$  มาก ส่งผลให้  $|\mu_1|$  ของสารที่เกิดสารประกอบเชิงซ้อนกับ CD ลดลง

เมื่อใช้แนวคิดเดียวกับงานวิจัยของกลุ่มวิจัยก่อนหน้านี้ที่ทำการสร้างแบบจำลองของค่าจำเพาะการแยกสารกลุ่มไฮดรอลิกที่มีประจุด้วย CD สองชนิดใน CD-EKC [Nhujak *et al.*: 2005] และแบบจำลองค่าจำเพาะการแยกใน MEKC สำหรับสารที่มีประจุ [Puangpila *et al.*: 2011] ดังนั้นแบบจำลองค่าจำเพาะการแยกใน CD-EKC สำหรับสารที่มีประจุและใช้ CD ที่ไม่มีประจุ สามารถจำแนกได้ 4 แบบ แสดงดังตารางที่ 6.1 ซึ่งจำแนกได้โดยพิจารณาจาก selectivity ratio ( $\rho$ ) กำหนดให้เป็นอัตราส่วนของ  $K/\alpha_{CZE}$  และลำดับของ  $|\mu_1|$  ใน CZE กับ  $K$  ใน CD-EKC ซึ่งลำดับของ  $|\mu_1|$  ใน CZE กับ  $K$  ใน CD-EKC เมื่อนอกัน หมายถึง  $K_1 > K_2$  และ  $|\mu_{0,1}| > |\mu_{0,2}|$  ในขณะที่ลำดับทั้งสองสลับกันหมายถึง  $K_1 > K_2$  และ  $|\mu_{0,2}| > |\mu_{0,1}|$  สมการที่ 6.2 สามารถใช้สำหรับทำนายค่าความจำเพาะการแยกของสารใน CD-EKC ได้ทั้งในกรณีที่  $\mu_{0,1} \neq \mu_{0,2}$  หรือ  $\mu_{0,1} = \mu_{0,2}$  ( $\alpha_{CZE} > 1.0$ ,  $< 1.0$  หรือ  $= 1.0$ ) และ  $\kappa \geq 1.0$  เสมอ ในทางปฏิบัติ ค่าจำเพาะการแยกของสารมีค่าเท่ากับ  $1/\alpha_{CZE}$  หรือ  $1/\alpha_{CD}$  สำหรับค่าจำเพาะการแยกของสารทางทฤษฎีที่มี  $\alpha_{CZE}$  หรือ  $\alpha_{CD} < 1.0$  จากสมการที่ 6.2 และค่าของตัวแปรต่างๆ ดังตารางที่ 6.1 ได้แบบจำลองของค่าจำเพาะการแยกของสารใน CD-EKC แบบที่ 1 ถึง 3 ในช่วง  $K_2C$  ต่างๆ และมี  $\rho$  ต่างกัน แสดงดังรูปที่ 6.1 โดยที่  $K_2C$  เท่ากับ 0 แสดงว่า  $\alpha_{CD}$  หมายถึง  $\alpha_{CZE}$

จากแบบจำลองค่าจำเพาะการแยกของสารใน CD-EKC แบบที่ 1 ดังรูปที่ 6.1A ซึ่งเป็นการแยกสารด้วย CD-EKC ที่มี  $\kappa > \alpha_{CZE} \geq 1$  พบร่วมเมื่อเพิ่มความเข้มข้นของ CD ลงไปในน้ำฟเฟอร์  $\alpha_{CD}$  มีค่าเพิ่มขึ้นจนมีค่ามากที่สุดที่  $K_2C$  ประมาณ 1 หลังจากนั้น  $\alpha_{CD}$  มีค่าลดลงเรื่อยๆ เมื่อ  $K_2C$  มีค่าสูงขึ้น โดยที่ค่า  $K_2C$  ใหญ่ ยิ่งค่า  $\rho$  มากขึ้น  $\alpha_{CD}$  ยิ่งมากขึ้น จากรูปแสดงให้เห็นว่า เมื่อเปรียบเทียบกับการแยกสารด้วย CZE การแยกสารด้วย CD-EKC ที่มีลักษณะแบบจำลองที่ 1 ช่วยเพิ่มค่าการแยกของสารที่ประจุได้ หรือชินายอย่างง่ายได้โดยเมื่อสารมี  $|\mu_{0,2}| > |\mu_{0,1}|$  ใน CZE ( $\alpha_{CZE} > 1$ ) และสารตัวที่ 1 เกิด binding กับ CD ได้ดีกว่า ( $K_1 > K_2$  และ  $\kappa > \alpha_{CZE}$ ) ส่งผลให้ค่า  $|\mu_1| > |\mu_2|$  ดังนั้นจึงได้  $\alpha_{CD}$  มากขึ้นที่  $K_2C$  เหมาะสม

ในทางกลับกันแบบจำลองที่ 1 การแยกสารด้วย CD-EKC ที่มี  $\alpha_{CZE} \geq \kappa \geq 1$  (รูปที่ 6.1B) ซึ่งเป็นแบบจำลองที่ 2 การแยกของสารมี  $\alpha_{CD}$  ลดลงเมื่อเติม CD เพิ่มลงไปในน้ำฟเฟอร์ ยิ่ง  $\rho$  น้อย  $\alpha_{CD}$  ยิ่งมีค่าน้อยลง แสดงให้เห็นว่าถ้าสารมีการแยกเหมือนแบบจำลองที่ 2 การแยกสารด้วย CD-EKC ส่งผลให้การแยกเยลลงกว่าใน CZE

รูปที่ 6.1C แสดงแบบจำลองค่าจำเพาะการแยกสารในเทคนิค CD-EKC แบบที่ 3 โดยเป็นการแยกสารด้วย CD-EKC ที่มี  $\kappa \geq 1 > \alpha_{CZE}$  และลำดับของ  $|\mu_1|$  ใน CZE กับ  $|\mu_1|$  ใน CD-EKC จะ

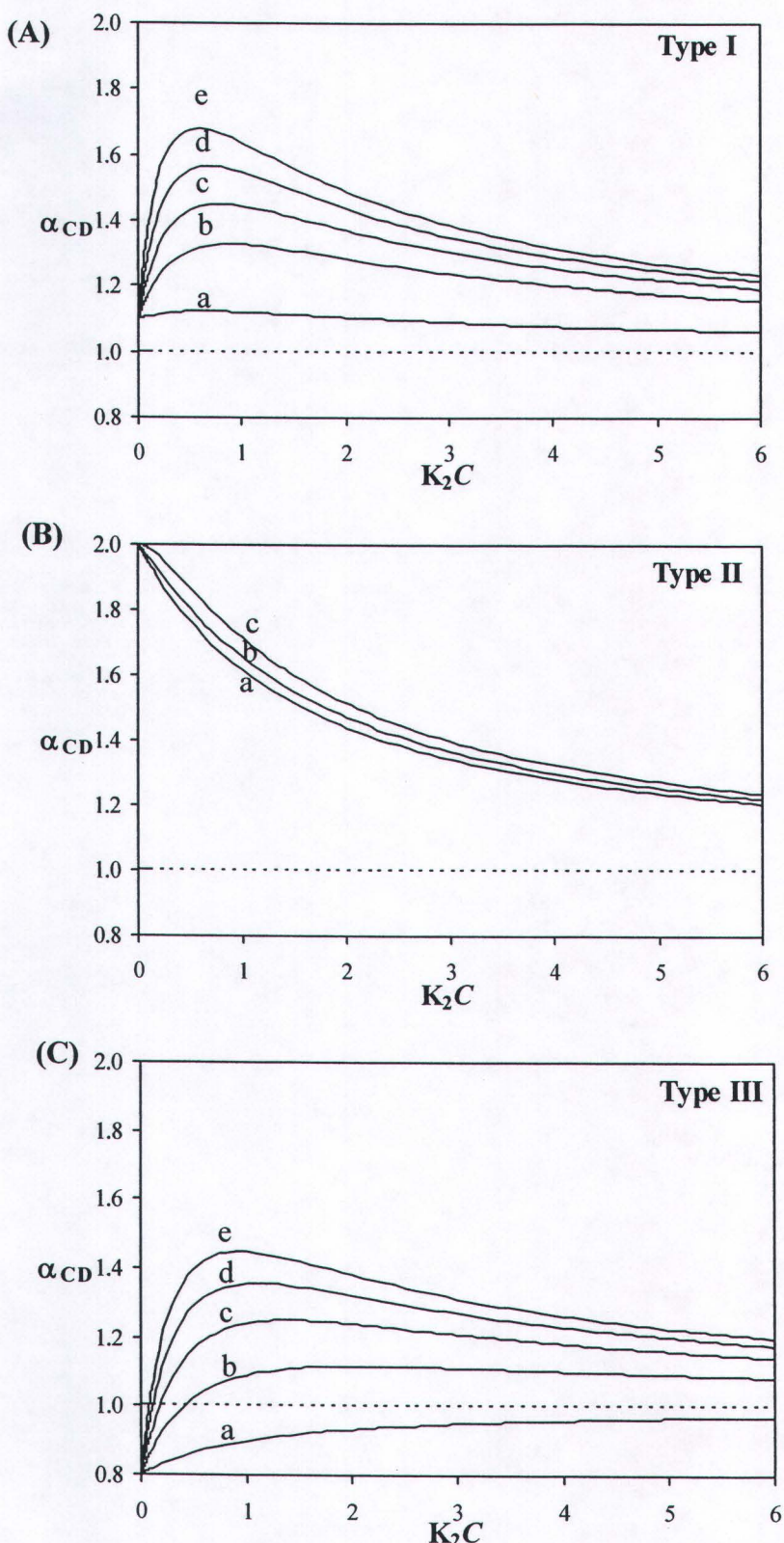
สลับกัน โดยเมื่อเดิน CD ลงไปในบัฟเฟอร์การแยกสารลดลง เริ่มต้นจาก  $1/\alpha_{CD} > 1$  ( $\alpha_{CD} < 1$ ) ไปจนกระทั่ง  $\alpha_{CD}$  มีค่าเท่ากับ 1 และหลังจากนั้นการแยกสารจะดีขึ้น ( $\alpha_{CD}$ ) ที่  $K_2C$  เพิ่มมากขึ้น จากสมการที่ 6.2 สามารถคำนวณ  $K_2C$  ที่ให้  $\alpha_{CD}$  มีค่าเท่ากับ 1 ได้ดังสมการ

$$K_2C = \frac{\beta(1 - \alpha_{CZE})}{\beta(\alpha_{CZE}\kappa - 1) + \alpha_{CZE}(1 - \kappa)} \quad (6.3)$$

เมื่อ  $\alpha_{CZE}\kappa = 1$  หรือ  $\kappa = 1/\alpha_{CZE}$  ดังรูปที่ 6.1C และ  $\kappa = 1.25$  พบร่วงลำดับของ  $|\mu_0|$  ใน CZE กับ  $|\mu|$  ใน CD-EKC ยังคงเหมือนเดิม และค่า  $K_2C$  ที่ให้  $\alpha_{CD}$  เท่ากับ 1 สามารถคำนวณได้เป็น  $-\beta$  หมายความว่า  $\alpha_{CD}$  อาจมีค่าเท่ากับ 1 ได้ เมื่อ  $K_2C$  มีค่ามากๆ สำหรับแบบจำลองที่ 3 ยิ่ง  $\rho$  มีค่ามากขึ้น  $K_2C$  ที่ให้  $\alpha_{CD}$  เท่ากับ 1 ยิ่งมีค่าลดลง และ  $K_2C$  ที่ให้ค่า  $\alpha_{CD}$  สูงที่สุด จะมีค่าลดลงเมื่อค่า  $\rho$  มากขึ้น ดังนั้นเมื่อเปรียบเทียบกับการแยกสารด้วย CZE การแยกสารด้วย CD-EKC ที่เป็นไปตามแบบจำลองที่ 3 นี้ โดยเฉพาะที่ค่า  $\kappa$  สูงๆ ส่งผลให้ค่าการแยกสารดีขึ้นเมื่อ  $\kappa > 1/\alpha_{CZE}$  และสำหรับแบบจำลองค่า  $\kappa$  ทางการแยกสารแบบที่ 4 ซึ่งมี  $\kappa = \alpha_{CZE} = 1$  จะไม่เกิดการแยกของสารทั้งใน CZE และ CD-EKC (ไม่ได้แสดงรูปของแบบจำลอง)

ตารางที่ 6.1 ประเภทของแบบจำลองของ  $\alpha_{CD}$ 

แบบที่	ค่าดัชนีของ $ \mu_0 $ ใน CZE	ค่าดัชนีของ $ \mu_0 $ ใน CZE และ $ \mu $ ใน CD-EKC	$\alpha_{CZE}$ ( $\mu_{0,2}/\mu_{0,1}$ )	$\kappa$ ( $K_1/K_2$ )	$\rho$	$\alpha_{CZE}$	$\kappa$	$\beta$	ค่าสมมติ
I	ตกลงกัน	เหมือนกัน	$\alpha_{CZE} \geq 1$	$\kappa > \alpha_{CZE} \geq 1$	$\rho > 1.0$	1.1	1.2-6.8	3.0	1.0
II	ตกลงกัน	เหมือนกัน	$\alpha_{CZE} > 1$	$\alpha_{CZE} \geq \kappa \geq 1$	$\rho \leq 1.0$	2.0	1.1-2.0	3.0	1.0
III	เหมือนกัน	เหมือนหรือตกลงกัน	$\alpha_{CZE} < 1$	$\kappa \geq 1 > \alpha_{CZE}$	$\rho > 1.0$	0.8	1.25-6.2	3.0	1.0
IV	ออกพร้อมกัน	ออกพร้อมกัน	$\alpha_{CZE} = 1$	$\kappa = \alpha_{CZE} = 1$	$\rho = 1.0$	-	-	-	-



รูปที่ 6.1 แบบจำลองของค่าจำเพาะการแยกด้วย CD-EKC สำหรับสารที่มีประจุ ซึ่งคำนวณได้จากสมการที่ 6.2 และข้อมูลต่างๆ ในตารางที่ 6.1 และ a ถึง e หมายถึงค่า binding selectivity ( $\kappa$ ) สำหรับรูป (A) มีค่าเท่ากับ 1.2, 2.4, 3.5, 4.9 และ 6.8 ตามลำดับ, รูป (B) มีค่าเท่ากับ 1.1, 1.4 และ 2.0 ตามลำดับ และรูป (C) มีค่าเท่ากับ 1.25, 2.3, 3.5, 4.8 และ 6.2 ตามลำดับ

### 6.3.2 ค่าจำเพาะการแยกสารของสารทดสอบที่ได้จากการทำนายและจากการทดลองในเทคนิค CD-EKC

การทำนายแบบจำลองค่าจำเพาะการแยกของสารที่มีประจุใน CD-EKC ที่ใช้ CD ไม่มีประจุ ต้องทราบค่า  $\alpha_{CZE}$ ,  $\kappa$ ,  $\beta$  และ  $\gamma$  ก่อน ช่วงเริ่มแรกของงานวิจัย ได้ศึกษาการแยกกรดอ่อนหลักหลายชนิดมาด้วย CD-EKC แล้วจึงเลือกสารทดสอบทั้งหมด 4 ตัว ได้แก่ 3C, 4C, 4M และ MCPA ซึ่งเป็นสารกลุ่มอนุพันธ์กรดเบนโซอิกและกรดฟีโนก็อกซี เพื่อใช้เป็นตัวอย่างของการแยกสารตามแบบจำลองของค่าจำเพาะการแยกของสารแบบที่ 1 ถึง 3 สารทดสอบทั้ง 4 ชนิดที่เลือกใช้มีค่า  $pKa < 4.4$  [Dean: 1987, Cessna and Grover: 1978] สารแต่ละตัวจึงแตกตัวเป็นประจุลบได้สมบูรณ์ เมื่อยื่นในบัฟเฟอร์ pH 9.2

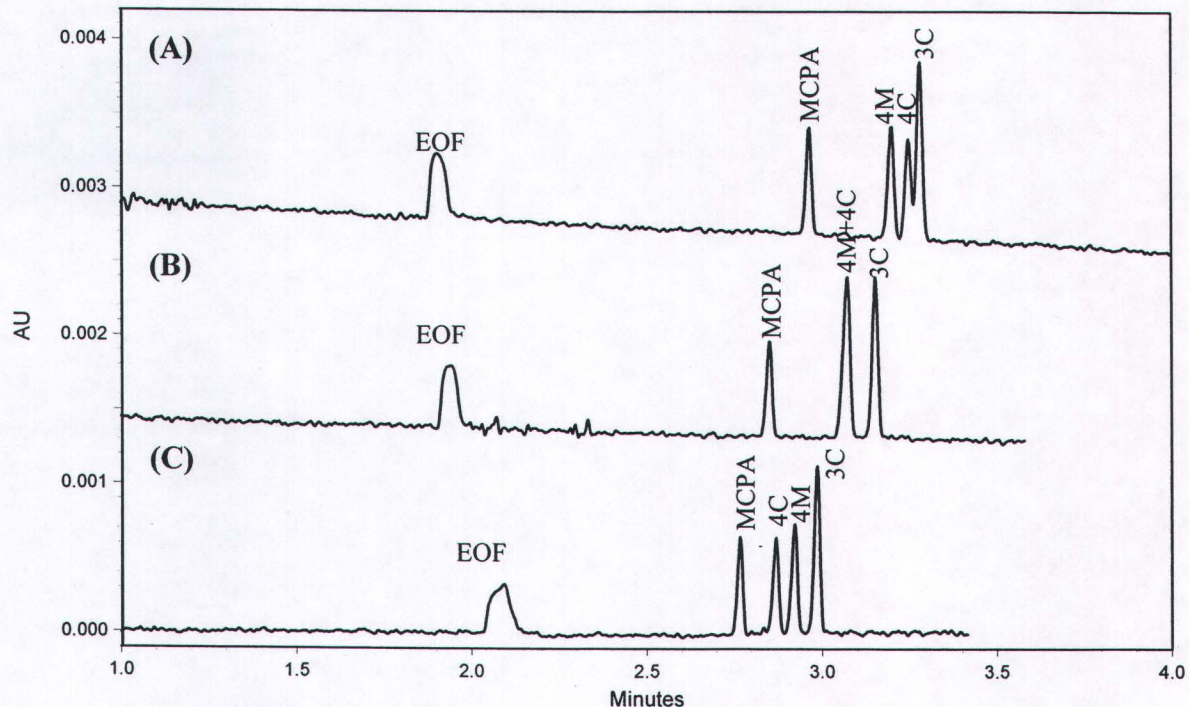
รูปที่ 6.2 แสดงตัวอย่างของอิเล็กโทรฟิโรแกรมของการแยก 3C, 4C, 4M และ MCPA ด้วยบัฟเฟอร์ของ CZE (0 mM  $\beta$ -CD, รูปที่ 6.2A) และบัฟเฟอร์ของ CD-EKC ที่มี  $\beta$ -CD เข้มข้น 2 mM (รูปที่ 6.2B) และ 12 mM (รูปที่ 6.2C) จากรูปที่ 6.2A ซึ่งเป็นการแยกสารด้วย CZE สารทดสอบที่มีประจุลบเคลื่อนที่ไปทิศทางตรงข้ามกับ EOF และมีลำดับของ  $|\mu_0|$  เป็น  $3C > 4C > 4M > MCPA$  ซึ่งขึ้นอยู่กับอัตราส่วนของประจุต่อนาคของสาร และจากรูปที่ 6.2B และ 6.2C ซึ่งเป็นการแยกสารด้วย CD-EKC ลำดับของ  $|\mu_0|$  เป็นดังนี้ ที่ความเข้มข้น 2 mM  $\beta$ -CD (รูปที่ 6.2B)  $3C > 4C \approx 4M > MCPA$  และที่ความเข้มข้น 12 mM  $\beta$ -CD (รูปที่ 6.2C)  $3C > 4M > 4C > MCPA$  เมื่อเปรียบเทียบ ลำดับการเคลื่อนที่ของสารใน CZE กับ CD-EKC พบว่า  $4C/3C$ ,  $4M/3C$  และ  $MCPA/4C$  มีลำดับการเคลื่อนที่เหมือนเดิมในช่วง 2-16 mM  $\beta$ -CD ในขณะที่เกิดสลับลำดับการเคลื่อนที่ของ  $4C/4M$  ตั้งแต่ 2 mM  $\beta$ -CD ขึ้นไป ซึ่งพฤติกรรมการเคลื่อนที่ของสารทดสอบที่แตกต่างกันสามารถอธิบายได้โดยใช้แบบจำลองของค่าจำเพาะการแยกใน CD-EKC ดังที่ได้กล่าวไว้ในหัวข้อที่ 6.3.1

ตารางที่ 6.2 แสดง  $\mu_0$ ,  $\mu_\infty$ ,  $\alpha_{CZE}$ ,  $K$ ,  $\kappa$ ,  $\rho$ ,  $\beta$ ,  $\gamma$  และแบบของแบบจำลองค่าจำเพาะการแยก โดยค่า  $K$  และ  $\mu_\infty$  สามารถคำนวณได้จากโปรแกรม CEfit ซึ่งหาจาก nonlinear least-square ของความสัมพันธ์ระหว่างความสามารถในการเคลื่อนที่ทางไฟฟ้าของสารที่ปรับแก้ตามการเปลี่ยนความหนืดของบัฟเฟอร์กับความเข้มข้นของ CD [Nhuajak et al.: 2005, Nhuajak and Goodall: 2001, Penn et al.: 1995] เมื่อใช้ข้อมูลจากตารางที่ 6.2 และคำนวณด้วยสมการที่ 6.2 ได้กราฟของ  $\alpha_{CD}$  ใน CD-EKC ที่ได้จากการทดลอง (เส้น) และจากการทำนาย (จุด) ที่  $K_2C$  ต่างๆ (รูปที่ 6.3A) และที่ความเข้มข้นของ  $\beta$ -CD ในช่วง 0-16 mM (รูปที่ 6.3B) ซึ่งกราฟความสัมพันธ์ระหว่าง  $\alpha_{CD}$  กับ  $K_2C$  สามารถใช้เปรียบเทียบค่าจำเพาะการแยกสารจากการทดลองและการทดลองทำนายได้โดยที่ไม่ทราบค่าความเข้มข้นของ CD ในขณะที่กราฟความสัมพันธ์ระหว่าง  $\alpha_{CD}$  กับความเข้มข้นของ  $\beta$ -CD สามารถใช้พิจารณาหาความเข้มข้นของ CD ที่เหมาะสมกับการแยกสารและการสลับลำดับการออกของสารด้วย จากรูปที่ 6.3 เห็นได้ว่า  $\alpha_{CD}$  ที่ได้จากการทดลองสอดคล้องกับค่าที่ได้จากการทำนายอย่าง

ขึ้น แสดงให้เห็นว่าสมการที่ 6.2 สามารถใช้สำหรับคำนวณ  $\alpha_{CD}$  ที่  $K_2C$  และที่ความเข้มข้นของ CD ต่างๆ ได้

เมื่อพิจารณาปัจจัยที่ 6.2 และข้อมูลดังตารางที่ 6.2 พบว่าลำดับของ  $|\mu_0|$  ใน CZE และ  $K$  ใน CD-EKC ลักษณะเดียวกันสำหรับ  $4C/3C$ ,  $4M/3C$  และ MCPA/4C แต่ลำดับของ  $|\mu_0|$  ใน CZE และ  $|\mu|$  ใน CD-EKC เหมือนเดิม เมื่อเปรียบเทียบกับการแยกสารด้วย CZE การแยกของ  $4C/3C$  และ  $4M/3C$  ด้วย CD-EKC ให้  $\alpha_{CD}$  เพิ่มขึ้นเมื่อ  $K_2C$  และ  $C$  เพิ่มขึ้นและมี  $\rho > 1.0$  ดังนั้นการเปลี่ยนแปลง  $\alpha_{CD}$  ของ  $4C/3C$  และ  $4M/3C$  สอดคล้องกับแบบจำลองที่ 1 ในทางตรงกันข้ามกับ  $4C/3C$  และ  $4M/3C$  การแยก MCPA/4C ด้วย CD-EKC ให้  $\alpha_{CD}$  ลดลงเมื่อ  $K_2C$  และ  $C$  เพิ่มขึ้นและมี  $\rho < 1.0$  ซึ่ง สอดคล้องกับแบบจำลองที่ 2

สำหรับการแยก  $4C/4M$  ด้วย CD-EKC มีลำดับของ  $|\mu_0|$  ใน CZE และ  $K$  ใน CD-EKC เมื่อกัน มี  $\alpha_{CZE} < 1.0$  และ  $\rho > 1.0$  (ตารางที่ 6.2) และลำดับของ  $|\mu_0|$  ใน CZE และ  $|\mu|$  ใน CD-EKC ลักษณะเดียวกันเมื่อใช้  $K_2C$  และ  $C$  สูงขึ้น (รูปที่ 6.2) ดังนั้นการแยกของ  $4C/4M$  ด้วย CD-EKC สอดคล้องกับแบบจำลองที่ 3 และที่ 2 mM  $\beta$ -CD และ  $K_2C$  เท่ากับ 0.170 ให้  $\alpha_{CD}$  ของ  $4C/4M$  เท่ากับ 1 และเมื่อคำนวณ  $K_2C$  ที่ให้  $\alpha_{CD}$  เท่ากับ 1 โดยใช้สมการที่ 6.3 ได้  $K_2C$  มีค่าเท่ากับ 0.166 ซึ่ง สอดคล้องกับ  $K_2C$  ที่ได้จากการคำนวณ

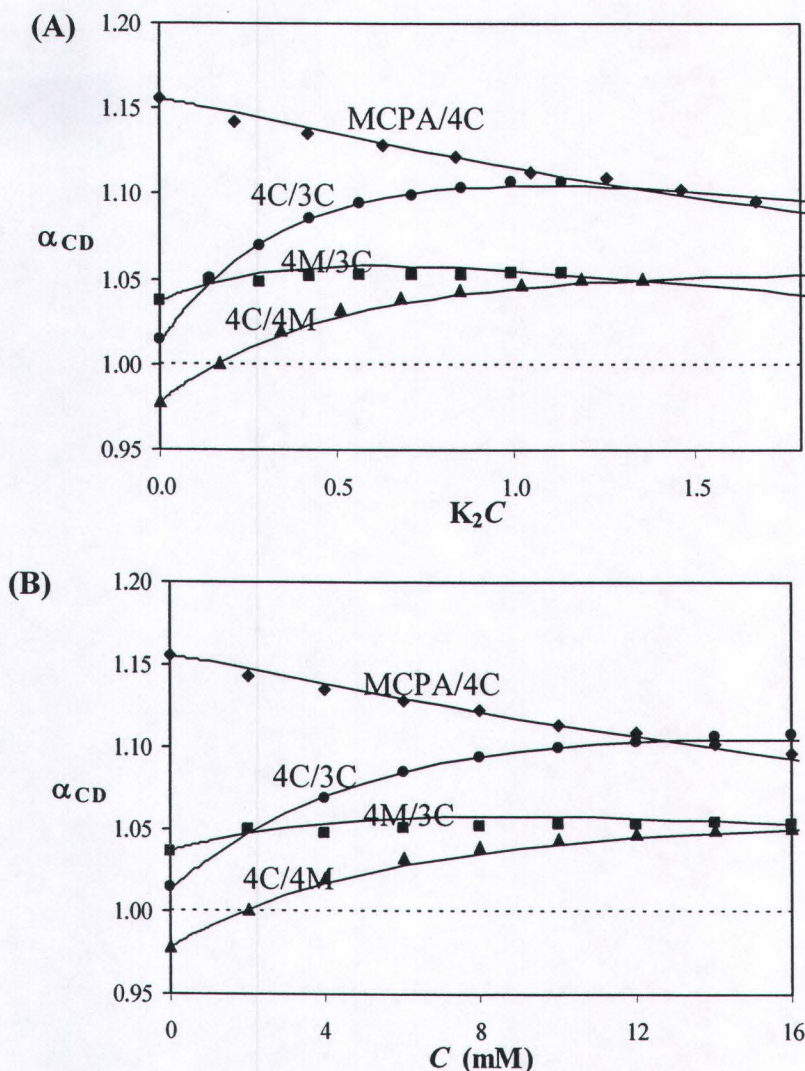


**รูปที่ 6.2** อิเล็กโทรโฟรีตограмของอนุพันธ์กรดเบนโซอิกและกรดฟีโนกซี โดยใช้บัฟเฟอร์ที่ประกอบด้วย (A) 0 mM (CZE), (B) 2 mM และ (C) 12 mM  $\beta$ -CD ใน 10 mM บอเรตบัฟเฟอร์ที่ pH 9.2 และภาวะอื่นๆ ของ CE ประกอบด้วย uncoated fused-silica capillary ขนาดเส้นผ่านศูนย์กลางภายใน 50  $\mu$ m ความยาว 40.2 cm (30 cm ถึงเครื่องตรวจวัด), ความคุณลักษณะที่ 25 °C, ศักยไฟฟ้า 15 kV, ตรวจวัดที่ความยาวคลื่น 214 nm และบรรจุสารด้วยความดัน 0.5 psi เป็นเวลา 3 วินาที

ตารางที่ 6.2 ความสามารถในการเคลื่อนพื้นที่ทางไฟฟ้าของสาร ( $\mu$ ,  $10^{-8} \text{ m}^2 \text{ V}^{-1} \text{ s}^{-1}$ ), ค่าจำเพาะการแยกใน CZE ( $\alpha_{CZE}$ ), binding constant ( $K$ ,  $\text{M}^{-1}$ ), binding selectivity ( $\kappa$ ), selectivity ratio ( $\rho$ ), อัตราส่วนของ  $\mu_{0,2}/\mu_{\infty,2}$  ( $\beta$ ), อัตราส่วนของ  $\mu_{\infty,1}/\mu_{\infty,2}$  ( $\gamma$ ) และแบบจำลอง  $\alpha_{CD}$  สำหรับสารทดลอง

สาร	$\mu_0$	$\mu_\infty$	$K$	ค่าร์	$\alpha_{CZE}$	$\kappa$	$\rho$	$\beta$	$\gamma$	แบบจำลอง $\alpha_{CD}$
3C	-2.86	-0.81	$70.8 \pm 0.4$	$4C/3C^a$	1.01	1.48	1.47	3.53	1.08	I
4C	-2.82	-0.87	$104.7 \pm 0.6$	$MCPA/4C^a$	1.16	1.07	0.92	3.23	1.05	II
4M	-2.76	-0.89	$84.8 \pm 0.3$	$4C/4M^a$	0.98	1.23	1.26	3.11	0.98	III
MCPA	-2.44	-0.91	$110.6 \pm 1.3$	$4M/3C^a$	1.04	1.20	1.15	3.53	1.09	I

<sup>a</sup>สารตัวที่ 2



รูปที่ 6.3 ค่าจำเพาะการแยกสารด้วย CD-EKC ที่ได้จากการทดลอง (สัญลักษณ์) และที่ได้จากการคำนวณ (เส้น) สำหรับการแยกสารที่มีประจุด้วย  $\beta$ -CD ช่วงความเข้มข้น 0-16 mM ที่ (A)  $K_2C$  ต่างๆ และ (B) ความเข้มข้น  $\beta$ -CD ต่างๆ โดยค่าที่ได้จากการคำนวณได้จากการคำนวณด้วยสมการที่ 6.2 และข้อมูลต่างๆ ที่แสดงดังตารางที่ 6.2

#### 6.4 สรุปผลการทดลอง

สมการของ  $\alpha_{CD}$  ที่ได้จัดรูปแบบให้สัมพันธ์กับตัวแปรที่ไม่มีหน่วย และแบบจำลองของ  $\alpha_{CD}$  สำหรับแยกสารที่มีประจุโดยใช้ CD ที่ไม่มีประจุสามารถใช้อธิบายและดำเนินการเปลี่ยนแปลง  $\alpha_{CD}$  ของสารและลำดับการเคลื่อนที่ของสาร ได้ที่ความเข้มข้น CD และ  $K_2C$  ต่างๆ เมื่อเปรียบเทียบ กับ CZE การแยกสารด้วย CD-EKC อาจเพิ่มหรือลด  $\alpha_{CD}$  สำหรับแยกสารที่มีประจุที่เป็นได้ขึ้นกับ ว่าสารนั้นสอดคล้องกับแบบจำลองแบบใด และค่า  $\alpha_{CD}$  ที่ได้จากการคำนวณและการทดลองนี้ ความสอดคล้องกันอย่างยิ่งที่ความเข้มข้นของ CD และ  $K_2C$  ต่างๆ สำหรับการแยกสารทดสอบที่ เป็นอนุพันธ์ของกรดเบนโซอิกและกรดฟีโนกซ์และใช้  $\beta$ -CD

## ເອກສານອ້າງອີງ

- Al Azzam K. M., Saad B., Adnan R., and Aboul-Enein H. Y., "Enantioselective Analysis of Ofloxacin and Ornnidazole in Pharmaceutical Formulations by Capillary Electrophoresis Using Single Chiral Selector and Computational Calculation of Their Inclusion Complexes" *Analytica Chimica Acta* **674** (2010) 249-255.
- Česla P., Fischer J., Tesařová E., Jandera P., and Staněk V., "Effects of Capillary Coating and  $\beta$ -Cyclodextrin Additive to the Background Electrolyte on Separation of Sulphonated Azodyes by Capillary Zone Electrophoresis" *Journal of Chromatography A* **1149** (2007) 358-367.
- Cessna A. J., and Grover R., "Spectrophotometric Determination of Dissociation Constants of Selected Acidic Herbicides" *Journal of Agricultural and Food Chemistry* **26** (1978) 289-292.
- Chankvetadze B., Capillary Electrophoresis in Chiral Analysis, John Wiley & Sons, Chichester, 1997, pp. 29, 111.
- Chankvetadze B., Lomsadze K., Burjanadze N., Breitkreutz J., Pintore G., Chessa M., Bergander K., and Blaschke G., "Comparative Enantioseparations with Native  $\beta$ -Cyclodextrin, Randomly Acetylated  $\beta$ -Cyclodextrin and Heptakis-(2,3-di-O-Acetyl)- $\beta$ -Cyclodextrin in Capillary Electrophoresis" *Electrophoresis* **24** (2003) 1083-1091.
- Chankvetadze B., "Separation of Enantiomers with Charged Chiral Selectors in CE" *Electrophoresis* **30** (2009) S211-S221.
- Chen M.-H., and Ding W.-H., "Separation and Migration Behavior of Positional and Structural Naphthalenesulfonate Isomers by Cyclodextrin-Mediated Capillary Electrophoresis" *Journal of Chromatography A* **1033** (2004) 167-172.
- Cheung H. -Y., and Zhang Q. -F., "Enhanced Analysis of Triterpenes, Flavanoids and Phenolic Compounds in *Prunella Vulgaris* L. by Capillary Zone Electrophoresis with the Addition of Running Buffer Modifiers" *Journal of Chromatography A* **1213** (2008) 231-238.
- Cucinotta V., Contino A., Giuffrida A., Maccarrone G., and Messina M., "Application of Charged Single Isomer Derivatives of Cyclodextrins in Capillary Electrophoresis for Chiral Analysis" *Journal of Chromatography A* **1217** (2010) 953-967.
- Dean J. A., Lange's Handbook of Chemistry, McGraw-Hill Book Co., Singapore, 13th Edition, 1987.
- Eppe H., Blanes L., Beavis A., Roux C., and Doble P., "Analysis of Amphetamine-Type Substance by Capillary Zone Electrophoresis Using Capacitively Coupled Contactless Conductivity Detection" *Electrophoresis* **31** (2010) 2608-2613.
- Fanali S., "Chiral Separations by CE Employing CDs" *Electrophoresis* **30** (2009) S203-S210.
- Ferguson P. D., Goodall D. M., and Loran J. S., "Systematic Approach to Links between Separations in Capillary Electrophoresis and Liquid Chromatography IV. Application of Binding Constant-Retention Factor Relationship to the Separation of 2-, 3-, and 4-Methylbenzoate Anions Using  $\beta$ -Cyclodextrin as Selector" *Journal of Chromatography A* **768** (1997) 29-38.
- Gübitz G., and Schmid M. G., "Chiral Separation by Capillary Electromigration Techniques" *Journal of Chromatography A* **1204** (2008) 140-156.



- Hsieh Y. -Z., and Huang H. -Y., "Analysis of Chlorophenoxy Acid Herbicides by Cyclodextrin-Modified Capillary Electrophoresis" *Journal of Chromatography A* **745** (1996) 217-223.
- Kwaterczak A., Duszczak K., and Bielejewska A., "Comparison of Chiral Separation of Basic Drugs in Capillary Electrophoresis and Liquid Chromatography Using Neutral and Negatively Charged Cyclodextrins" *Analytica Chimica Acta* **645** (2009) 98-104.
- Luong J. H. T., and Nguyen A. L., "Achiral Selectivity in Cyclodextrin-Modified Capillary Electrophoresis" *Journal of Chromatography A* **792** (1997) 431-444.
- Nhujak T., and Goodall D. M., "Trace Analysis of  $\gamma$ -Cyclodextrin in a Sample of  $\beta$ -Cyclodextrin by Capillary Electrophoresis" *Journal of Chromatography A* **907** (2001) 313-320.
- Nhujak T., Sastravaha C., Palanuvej C., and Petsom A., "Chiral Separation in Capillary Electrophoresis Using Neutral Cyclodextrins: Theoretical Models of Electrophoretic Mobility Difference and Separation Selectivity" *Electrophoresis* **26** (2005) 3814-3823.
- Penn S. G., Bergström E. T., and Goodall D. M., "Capillary Electrophoresis with Chiral Selectors: Optimization of Separation and Determination of Thermodynamics Parameters for Binding of Ticonazole Enantiomers to Cyclodextrins" *Analytical Chemistry* **66** (1994) 2866-2873.
- Penn S. G., Bergström E. T., Knights I., Lui G., Ruddick A., and Goodall D. M., "Capillary Electrophoresis as a Method for Determining Binding Constants: Application to the Binding of Cyclodextrin and Nitrophenolates" *Journal of Physical Chemistry* **99** (1995) 3875-3880.
- Puangpila C., Petsom A., and Nhujak T., "Theoretical Models of Separation Selectivity for Charged Compounds in Micellar Electrokinetic Chromatography" *Electrophoresis*, **32** (2011) 203-209.
- Tian K., Zhang H., Chen X., and Hu Z., "Determination of Five Anthraquinones in Medicinal Plants by Capillary Zone Electrophoresis with  $\beta$ -Cyclodextrin Addition" *Journal of Chromatography A* **1123** (2006) 134-137.
- Wren S. A. C., "Theory of Chiral Separation in Capillary Electrophoresis" *Journal of Chromatography A* **636** (1993) 57-62.
- Yang J., Lu X., Pan L., Jiang K., and Cheng M., Li F., "Simultaneous Enantioseparation of Four- $\beta$ -Agonists by Capillary Electrophoresis with Cyclodextrin Additives. Study of the Enantioselective Mechanism" *Journal of Separation Science* **31** (2008) 3749-3754.
- Zhang H., Shao H., A Y., and Zhang Z., "Optimized Conditions of Enantioseparation of  $\beta$ -blockers by CZE Using Carboxymethyl- $\beta$ -Cyclodextrin as Chiral Selector" *Chromatographia* **68** (2008) 653-658.